

A-NETローカルOSのメッセージ受理機構

吉永 努 馬場 敬信

宇都宮大学 工学部 情報工学科

A-NET ローカルOS 第2版の設計方針とシミュレータを用いた実験結果について報告する。第2版では、特にメッセージの受理処理を高速化した。第1版との比較から、引数なしのメッセージを受理してからユーザのメソッドを起動するまでの時間は約40%高速化された。また、引数を1つ伴うときのOSの実行時間は、約17～49%短縮された。さらに、サンプルプログラムを用いたシミュレーション結果から、(1)ユーザとシステムの実行時間の比は1:9.7である、(2)アドレス化セレクタによって平均2.9回の辞書探索が不要となった、(3)最大並列度は、ほぼ使用PE数に近い値が得られる、などが分かった。

Message Reception Mechanism of the A-NET Local Operating System

Tsutomu Yoshinaga and Takanobu Baba

Department of Information Science, Faculty of Engineering

Utsunomiya University, Utsunomiya 321, Japan

This paper describes the A-NET local operating system version 2 and the experimental results. The intention of version 2 is to achieve fast processing of the message reception. When the OS receives a message with no argument, it performs the operation with about a 40% reduction in the processing time compared with OS version 1. For a message with one argument, there is about a 17 to 49% reduction in execution time. Experimental results show that: (1)the execution time ratio between user and OS is about 1:9.7, (2)the translation of a selector to the corresponding address saves 2.9 times the message dictionary search, and (3)the maximum parallelism is close to the number of used PEs.

1. はじめに

我々は、並列オブジェクト指向実行モデルを採用したプログラミング言語 A-N E T L を設計し、現在、その実行を支援するための A-N E T L 高並列計算機の開発を進めている[1]。A-N E T L 計算機の各ノードプロセッサは、260KB のローカルメモリを持つメソッド実行用の40ビット P E と、メッセージ通信用のルータ、60KB の P E - ルータ間共有メモリからなる。P E - ルータ間にメッセージ入出力キューを設けて内部処理と通信を分離することにより、スループットの向上を図っている[2, 3]。全体のノード数は数百～数千を目標とし、ルータの構成をネットワークトポジット独立なものとするとともに、オブジェクト間の関係に基づき各オブジェクトを物理的ネットワークに最適に割り付けるアロケータを開発して、各種応用問題に適応できるようにしている[4, 7]。

ローカルOSは、各P E 上でオブジェクトの記憶管理、メッセージの受理、A-N E T L のプログラミングパラダイムを反映したコンテクスト管理等を行う[5]。今回、メッセージを受理してからユーザのメソッドを起動する処理の高速化などを目的とした改良を行った。本稿では、このローカルOS第2版の改善方針と実験結果を中心に述べる。

2. ローカルOS第2版の改善方針

A-N E T L ローカルOSの第一義的な目的は、A-N E T L の持つ並列オブジェクト指向実行モデルの特徴を損なうことなく、その実行のオーバヘッドを極力抑えることにある。このオーバヘッドには2種類のものが考えられる。すなわち、オブジェクト指向であるためのものと、実行の並列化によるものである。前者には、実行順序の非決定性やメッセージ駆動方式によるものなどがあり、後者には、同期構文の処理や通信遅延などがある。これらの与える影響は、応用プログラムによって様々であるが、言語処理系の工夫やハードウェアサポートとともに、OSの機構によってできる限り多くのプログラムについて実行性能を上げたい。我々は、第1版OSを用いたいくつかのサンプルプログラムのシミュレーション結果を

基に、OSとユーザとの処理のバランスなどを検討し、特にメッセージを受理してからユーザのメソッドを起動するまでの高速化とコンテクストチェンジの高速化が必要であると考え、ハードウェアコストとのトレードオフを考慮して、命令セットとハードウェア構成に若干の変更を加え、第2版OSを設計した。また、並列プログラムのデバッグ機能の強化も図っている。

第2版の主な改善点を以下に示す。

(1) メソッド起動の高速化

P E に割り付けられたオブジェクトは、メッセージによって活性化される。ルータは、自ノード宛メッセージを受け取ると、これをP E - ルータ間共有メモリ上の入力メッセージキューに書き込み、P E に割り込みをかける（メッセージ割り込み）。P E は、メッセージ入力待ちのアイドル状態、もしくはユーザメソッド実行状態においてこの割り込みを受け付け、OSのメッセージ受理メソッドを起動して、システム状態に移行する。この関係を図1に示す。ここで、システムがユーザを起動するまでの時間と起動されるユーザ処理の粒度のバランスが問題となるが、並列化による処理の高速化を期待する場合には、できるだけシステム時間を短くしたい。このため、新たにメッセージリシーブ命令を定義し、ローカルメモリ上にコンテクストを生成せずに、入力キュー内のメッセージを直接実行できるようにする。

また、静的に定義されたオブジェクトに送信するメッセージのセレクタをアドレス化し、メッセージ辞書の探索をせずに起動するメソッドを決定できるようにする。

(2) コンテクストチェンジの高速化

入力キューに格納されたメッセージは、基本的に先頭から（到着順に）実行されるが、送信済みメッセージの取り消しや、オブジェクトの動的消去などをサポートするために、ユーザ状態ではメッセージ割り込みを受け付け、システム状態に移行する。このとき、ユーザの実行イメージを待避しなくてもすむよう、ユーザ用とシステム用の2つの特殊レジスタセットを設ける。図2にレジスタセット、コンテクスト、メッセージの構造を示す。これらは、待避と復帰をブロック転送できる

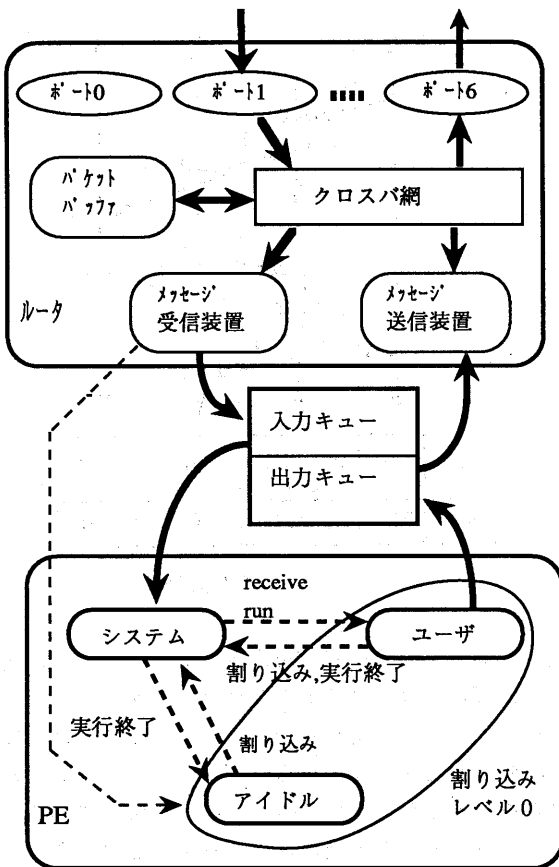


図1. メッセージ送受信とPEの状態遷移

よう、対応した構造を持つ。割り込みによって中断されたユーザプログラムの実行は、実行イメージがレジスタ上にある場合にはPCとフラグレジスタの設定だけで再開することができる。また、同期のためにコンテクストに待避される実行イメージの大きさは、メッセージを実行しているときは9語、1度待避されたコンテクストを実行しているときは5語である。

(3) メッセージ引数再構成の高速化

A-NETLでは、メッセージによる引数渡しは、構造体データを含めてすべてコピー渡しである。そこで、第1版では図3(a)に示すように、メッセージのサイズを抑えるため、リストや配列などのデータを引数とする場合、これをメッセージ中に圧縮して送信し、受信側のOSでローカル

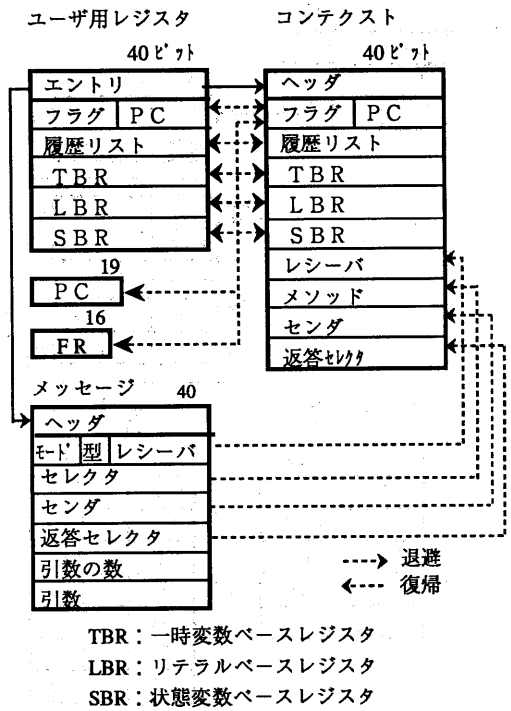
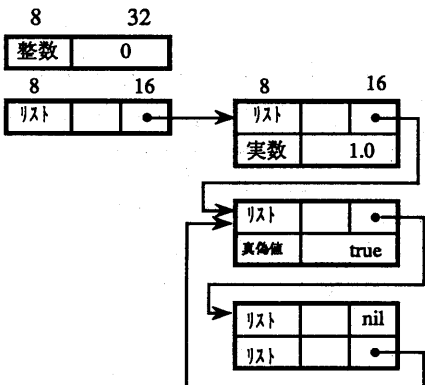


図2. レジスタへの逃避と復帰

メモリに展開していた。すなわち、世代別ガーベジコレクションのためのフラグや次のセルへのポインタを含む構造体データセルのヘッダを省略したものから、受け側で引数のデータ型を調べ、各データセルごとにコピーして元のデータ構造を再現していた。送信側ノード上でのデータの世代もポインタも受信側ノード上では不要となるからである。しかし、第1版を用いたシミュレーション結果から、数語の転送時間とバッファ領域を節約するよりも、その再構成にかかる時間を短縮することが重要であると判明したため、第2版では図3(b)に示すように、構造体セルをヘッダ付きで送信するようにする。メッセージ送信時、ヘッダ部に含まれるポインタは、ベースレジスタTBRのオフセットに変換される。これにより、受信時には引数の構造を詳しく識別することなく、入力キューからローカルメモリに一括コピーして再配置できる。

引数再構成の手数を減らすことにより、(1)の



第1版

第2版

	8	32
1	整数	0
2	リスト	要素数3
3	実数	1.0
4	真偽値	true
5	リスト	ループ 3

	8	32
1	整数	0
2	リスト	4
3	実数	1.0
4	リスト	6
5	真偽値	true
6	リスト	nil
7	リスト	4

(a) 圧縮した引数 (b) 圧縮しない引数

図3. メッセージの引数

メソッド起動とリターンメッセージの返值格納を高速化することができる。

(4) 並列プログラムのデバッグ支援

A-NETL のデバッガは、ホスト上でユーザとのやり取りをするマスタデバッガと、各 P E 上の OS レベル／ファームウェアレベルのローカルデバッガからなる[6]。このうち、OS レベルのローカルデバッガは、ホストからのメッセージによる通常実行モードとデバッグモードの切り替え、ブレークポイントの条件設定などと、タイムスタンプ付きのメッセージ受信履歴の保存を行う。図 4 に、タイムスタンプ付きメッセージの送受信履歴の概念図を示す。タイムスタンプには、メッセージの送受信ごとに更新される局所的、論理的なものを使用する。送信履歴は、メッセージセンド命令を実現するファームウェアによって採られるが、送信時刻に加えて、そのメッセージ送信の原因となったメッセージの受信時刻も付す。これは、

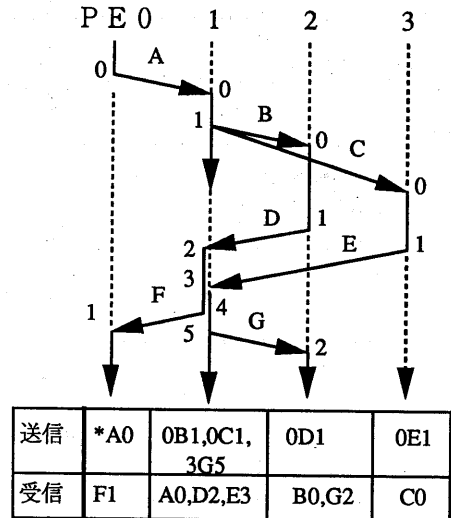


図4. メッセージ送受信履歴

メッセージの因果関係を再現するためである。例えば図 4 では、P E 1 上のオブジェクトが、時刻 0 にメッセージ A を受信し (A0)、それによって起動されたメソッドから時刻 1 にメッセージ B と C を送信した (0B1, 0C1) ことを記録している。デバッグモードの設定は、ノードごとに可能であるが、複数のノードをデバッグモードで実行すれば、送受信履歴を照らし合わせることによって、全体のオブジェクト間でのメッセージ送受信関係を提示することができる。

3. メッセージの受理機構

OS 第 2 版におけるメッセージ受理処理を詳細にみると、図 5 のようになる。

(1) P E がメッセージ割り込みを受け付けると、割り込みベクタに対応した番地から OS のメッセージ受理メソッドのアドレス化セレクタを読み出して、これを起動する。OS は、ルータによって共有メモリに書き込まれた入力メッセージのエントリ（先頭番地とサイズを含む）を読み出して、エントリを次の入力メッセージのものに書き換えるかクリアする。

(2) メッセージから宛先、型などを読み込んで、宛先オブジェクトが P E 上に存在するか、メッセ

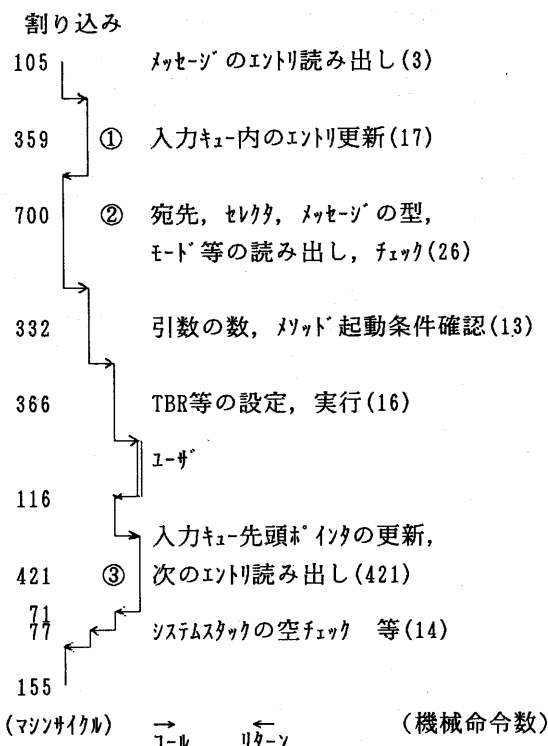


図5. メッセージ受理処理詳細

ージはメソッド起動のためのものかリターンなどを調べる。このとき、オブジェクトは I D に含まれる番号から表検索されるため、1 ノード上で複数のオブジェクトを管理している場合にも検索時間が増えることはない。また、セレクタがアドレス化されたものであれば、メッセージ辞書の検索を行わずにメソッドを見つけることができる。このとき、P E がデバッグ実行モードであるか、メッセージがデバッグモードで送信されたものであれば、メッセージの内容をローカルメモリにコピーして受信履歴を作成する。

(3) 仮引数と実引数の数を確認し、引数を一時変数領域にコピーする。

(4) P E がデバッグ用ユーザ停止モードでなければ、メッセージリレーシープ命令によりユーザメソッドを実行する。

(5) 実行終了したメッセージが入力キューの先頭にあれば、これを削除してキュー pointers を更新する。

この中で実行時間を消費しているところは、①、③の入力メッセージキュー操作と②のメッセージ内の各情報フィールドの切り出しとチェックである。メッセージキューには、デュアルポートメモリを仮定しているが、これは、P E とルータの同時アクセスの他、メッセージを配列としてランダムアクセスするためである。ここでのオーバヘッドとしては、キューを循環バッファとして扱うことと、入力メッセージキューを2回見に行くことが挙げられる。キューを介したメッセージキャッシングは、複数プロセッサ上での実行によるためのものであるが、これを単一プロセッサ上で、例えばスタックを用いて実行する場合でも、ほぼ同様の手数がかかると考えられ、実行モデルを簡単化せずに、これ以上劇的に手数を減らすことは難しいと思われる。

4. 実験結果

4. 1 メッセージ受理処理の評価

2. 節で述べた改善案に基づき O S 第2版を実現し、シミュレータを用いてメッセージ受理処理の手数を第1版のものと比較した。使用したサンプルプログラムは図6に示すオブジェクトである。

表1に、主なシステム特権命令とその実行マシンサイクル数を示す。実行マシンサイクル数は、機械命令を実現するマイクロプログラムから求めたものである。各命令において、オペランドのアドレス計算、読み出しのために $des \times 3$, $so \times 5$ の時間がかかっている。追加した命令は、メッセージ

```

object test
state s      " state variable"
methods {
    m0 {      " no arguments "
        s = 0
    }
    m1: arg { " one argument "
        s = 1
    }
}      " end of methods "

```

図6. サンプルプログラム

表1. 主な特権命令と実行マシンサイクル数

命 令	内 容 (マシンサイクル数)
rcv so, tfe	メッセージ実行 (43)
svCnt des	コンテキスト退避 (46) 再退避 (16)
run so, tfe	メッセージ実行再開 (14) コンテキスト実行再開 (25)
crtCnt des, so	コンテキスト生成 (24)
slfCall #, des, sel, so, ...	システムコール (50+8×#)
slfRet so	リターン (30)
mvID des, so	des間接データ転送 (14)
mvIS des, so	so間接データ転送 (13)

so : ソース # : 引数の数
des : ディスティネーション tfe : テンポラリフレームエントリ

表2. 引数なしメッセージの受理処理の手数 (マシンサイクル)

	第1版	第2版
前処理	3217	1862
後処理	489	862
合 計	3706	2724

1マシンサイクル = 125ns

ージの実行 (recv) である。また、これに伴いメッセージ／コンテキストの実行・再開 (run) 命令は、ユーザ用特殊レジスタに実行イメージが載っているときと、いないときで 1:1 マシンサイクル異なる。

最も簡単な引数無しメッセージ m0 を受理するときのマシンサイクル数は表2のようになった。

ここで、前処理とはメッセージ割り込みを受け付けてから m0 を起動するまで、後処理とは m0 の終了後、メッセージ割り込みの終了するまでを指す。この結果から、ユーザメソッドを起動するまでの時間は約40% 短縮されたことが分かる。このことは、次の観点から重要である。すなわち、前処理が長くなった場合、その間に次のメッセージが到着する可能性も大きくなり、その場合、ユーザの実行は更に次の到着メッセージの割り込み前処理分待たされることになるからである(図1 参照)。後処理が重くなったのは、メッセージリシーブ命令の実現に伴い、メッセージキュー管理が複雑になったことによる。合計の手数は、約2

表3. 引数1つのメッセージ受理処理の手数 (マシンサイクル)

引数の種類	第1版	第2版
整数 0	4436	3225
文字列 'string'	5409	4556
配列 [1, 2, 3]	7949	5039
リスト {1, 2, 3}	8352	6123
辞書 <<1; 2, 3; 4, 5; 6>>	13953	7098

文字列は、6 文字
配列、リストは整数 1, 2, 3 の 3 要素を持つ
辞書は、(キー 1, 値 2), (キー 3, 値 4), ..

5% 減少している。

次に、引数を 1 つ持つメッセージ m1: の受理にかかる手数の比較を表2 に示す。引数の設定は、前処理に含まれ、後処理の手数は、上記のものと大きく変わらないため、ここでは合計のマシンサイクル数を示す。

この例では、約17~49% の高速化が図られている。一般に、引数の構造が複雑になるほど処理時間短縮の効果が大きい。

4. 2 ユーザプログラムを用いた評価

OS 第2版を用いていくつかの A-N E T L プログラムのシミュレーションを行い、メッセージ当たりのユーザの処理粒度、ユーザとシステムの実行バランス、オブジェクトサイズとローカルメモリ容量の関係、などを調べた。シミュレータは SONY NEWS 上にインプリメントされており、P E とルータをそれぞれ 1 つのプロセスとして実現し、メッセージパッキングにはソケットによるプロセス間通信を用いている。使用したサンプルプログラムは、次の 6 種類 7 つである。

- ① ホップフィールドモデルのニューラルネットを用いた巡回セールスマントロピカルネット問題 (5 都市)
- ② 3 辺に 5 色の内、1 色のついた 9 つの三角形ピースを隣合う色が同じになるように並べて大きな三角形を作る色合わせパズル
- ③ 原子の結合状態の変化による化学反応のシミュレーションについて、次の 2 通り
 - (1) $\text{CO}_2 + \text{H}_2 \rightarrow \text{CO} + \text{H}_2\text{O}$
 - (2) $\text{C}_3\text{H}_8 \rightarrow \text{C}_3\text{H}_6 + \text{H}_2$

- ④ 8つの2分木の葉にデータを格納し、これらを並列に検索・更新するデータベース
- ⑤ 22ゲートからなる3状態シーケンサ回路のシミュレーション
- ⑥ 行列式、逆行列、連立方程式の計算（実行時間は 4×4 行列の逆行列計算のもの）

実験に用いたOS第2版は、メソッド総数63、全体の大きさ約16.5KBで、第1版よりも1.8KBほど大きくなっている。

表4にシミュレーション結果を示す。

(1) 処理の粒度

1つのメッセージを受理して起動されるユーザ処理粒度の平均は453.2マシンサイクルであった。これは、機械命令で20~30命令程度と非常に小さいものである。メッセージの持つ引数の数が、平均1.4個であることから、これらの受理に要するシステムの実行マシンサイクル数は、表3の値よりも若干大きなものとなり、4000以上となる。従って、ユーザとシステムの実行時間の割合は1:9.7という比になる。このことは、細粒度のユーザ処理の間に約10倍のシステム実行が介在することを意味し、稼働率が上がっても、高並列となる限り一般的な問題において実行性能を期待す

ることが難しくなる。

この関係を改善するためには、ユーザの粒度を大きくすることと、システムの粒度を小さくすることの両面からのアプローチが必要である。現在の実行モデルでは、ユーザのメソッド呼び出しは、同一ノード上で呼び出しを含めて、すべてキーを介したメッセージパッシングに帰着する。これに対して、OSのメソッド呼び出しは、表1に示したようにスタックを用いたコール(slfCall)／リターン(slfRet)を用いて行われる。現在これをユーザに開放していないのは、セマンティクスの統一のためと、実行の安全性を保つためである。例えば、OSのメソッドは動的に消去・変更されないが、ユーザのメソッドはその可能性がある。ただし、今後、各ノード上で基本的な機能を提供する算術関数や文字列操作などのライブラリオブジェクトをサポートする予定であり、これら同一ノード上でOSを介在しないメソッド呼び出しも検討ていきたい。

(2) アドレス化セレクタの効果

1オブジェクトに含まれる平均的なメソッド数は5.8個であり、メッセージセレクタのアドレス化は、2.9($=5.8/2$)回の辞書探索を不要にしたといえる。

表4. シミュレーション結果

プログラム	ニューラルネット巡回セマン	色合わせパズル	化学反応のシミュレーション1	化学反応のシミュレーション2	2分木データベース	シーケンサ回路シミュレーション	行列計算	平均値
オブジェクト数 静的／動的 平均サイズ(語)	32 6/26 297.7	194 2/192 343.2	6 6/0 187.3	14 3/11 210	15 15/0 209.1	28 5/23 67.9	21 5/16 163.8	44.3 6/40.4 211.3
平均メソッド数 使用PE数 実行マシンサイクル ユーザ	7.8 16	6.7 16	4 6	5.4 14	8.3 15	2.0 16	6.7 16	5.8 14.1
システム ユーザ：システム GC／ノード メッセージ割り込み サイズ(語) 引数の数 ユーザ／メッセージ (マシンサイクル) 未来トラップ 最大並列度 稼働率	3,566,293 19,508,979 1:5.5 1.5 2,588 8.2 2.3 1378.0 101 14 4.4	2,728,298 26,868,085 1:9.8 2.6 4,305 6.1 1.5 683.2 2,365 14 8.0	129,351 1,568,039 1:12.1 0 289 6.7 1.5 342.9 0 5 0.9	342,880 12,170,185 1:35.5 1.4 2,024 5.9 0.7 169.4 22 11 5.2	116,728 3,045,353 1:26.0 0.1 558 5.6 1.0 209.2 168 10 1.9	61,003 2,765,152 1:45.3 0 582 5.68 0.9 104.8 25 8 4.1	72,715 1,871,672 1:25.7 0 255 6.45 0.9 285.2 44 9 2.1	1,002,467 9,685,352 1:9.7 0 1,514.4 6.38 1.7 453.2 389.3 10.1 3.33

PE1マシンサイクル = 125ns, ローカルメモリ1語 = 40ビット

(3) ローカルメモリ容量

メモリ消費特性は問題の性質とアルゴリズムによって異なるが、実験に用いた規模のプログラムでは、ノード当たりのG C発生回数は0～4回であった。従って、寿命の長いコンテクストやリストなどのデータオブジェクトはほとんどなく、これらの構造体データによって消費される動的利用可能な領域の大きさは十分であるといえる。また、オブジェクト割り付け領域 12K語には、平均的な大きさ211.3語のオブジェクトが58個割り付け可能であると見積ることができる。この数は、A-NETLによる複数オブジェクトの同一ノードへの割り付け指定[1]に対しても十分なものであり、実装するメモリを減らした場合でも、実行モデルは損なわれないと考えられる。

(4) メッセージサイズとキューサイズ

平均的なメッセージサイズは6.38語で、その到着回数（メッセージ割り込み）は1,514.4回であった。このことは、4K語の循環入力メッセージキューを約2.4周したことを意味する。

(5) 未来トラップ

未来トラップは、メッセージの返答の格納先に指定された変数を読み出そうとして、返答が返っていないときに起きる。このときOSの要するコンテクストチェンジの手数は約700マシンサイクルである。ユーザ処理の粒度が小さいと、メッセージ送信から返値の参照までの時間も短くなり、未来トラップも起こり易くなる。

(6) 最大並列度

最大並列度は、初期化を除いて同時に実行が行われたノード数の最大値である。シミュレータが、クラスの存在するノードに動的オブジェクトを割り付けないなどの制約を考えると、ほぼ使用PE数に近い値が得られたといえる。

5. おわりに

A-NET ローカルOS第2版の設計方針とシミュレータによる実験結果を中心に述べた。今回、言語処理系やシミュレータの制約から、インデックス付きオブジェクト[1]を用いたプログラムや16ノードを越えるシミュレーションは行えなかった。また、ユーザとシステムの実行バランスに

ついても、まだ満足のいく結果は得られていない。システムの実行時間を短縮するためには、メッセージキューなどのハードウェアサポートや実行モデルの簡単化が考えられる。しかし、単にシステムの実行時間を縮めても、その分PEが遊んでしまっては意味がない。ルータとのバランスも考慮する必要がある。第3版では、これらの問題に取り組むとともに、データベースの検討なども行っていく予定である。

謝辞

本稿を書くにあたり、シミュレーション等に協力して頂いた大学院生の濱田君、および卒研生の浅利、片平、郡司、鈴木、佐々木、大谷の各君に感謝する。

参考文献

- [1]T.Baba, et al.: "A Parallel Object-Oriented Total Architecture: A-NET," Proc. 1990 Int. Conf. on Supercomputing (to appear).
- [2]寺岡他："並列オブジェクト指向トータルアーキテクチャ A-NET - PE のアーキテクチャー," 情報処理学会第41回大会, 6P-7(1990).
- [3]茂木他："並列オブジェクト指向トータルアーキテクチャ A-NET - ルータの設計-", 情報処理学会第41回大会, 6P-8 (1990).
- [4]馬場他："並列計算機におけるタスク割付けに関する一考察," 電子情報通信学会コンピュータシステム研究会, CPSY 90-32 (1990).
- [5]吉永他："並列オブジェクト指向トータルアーキテクチャ A-NET のローカルOS," 情報処理学会オペレーティングシステム研究会, 89-OS-45-5 (1989).
- [6]濱田他："並列オブジェクト指向トータルアーキテクチャ A-NET のプログラムデバッグ方式," 情報処理学会第40回大会, 1L-5(1990).
- [7]T.Baba, et.al.: "A Network-Topology Independent Task Allocation Strategy for Parallel Computers," Proc. 1990 Int. Conf. on Supercomputing (to appear).